

С. А. Ромашевский, С. И. Ашитков, В. А. Хохлов, Н. А. Иногамов, Исследование релаксации энергии в нанопленке никеля после сверхбыстрого нагрева электронной подсистемы фемтосекундным лазерным импульсом, TBT, 2024, том 62, выпуск 6, 906–912

https://www.mathnet.ru/tvt12054

Использование Общероссийского математического портала Math-Net.Ru подразумевает, что вы прочитали и согласны с пользовательским соглашением https://www.mathnet.ru/rus/agreement

Параметры загрузки: IP: 95.24.131.212 5 октября 2025 г., 14:32:23



## **— НОВАЯ ЭНЕРГЕТИКА И СОВРЕМЕННЫЕ ТЕХНОЛОГИИ**

УДК 536.212.2, 536.2.083, 532.591, 539.893, 66-947.5

# ИССЛЕДОВАНИЕ РЕЛАКСАЦИИ ЭНЕРГИИ В НАНОПЛЕНКЕ НИКЕЛЯ ПОСЛЕ СВЕРХБЫСТРОГО НАГРЕВА ЭЛЕКТРОННОЙ ПОДСИСТЕМЫ ФЕМТОСЕКУНДНЫМ ЛАЗЕРНЫМ ИМПУЛЬСОМ

© 2024 г. С. А. Ромашевский<sup>1, \*</sup>, С. И. Ашитков<sup>1</sup>, В. А. Хохлов<sup>2</sup>, Н. А. Иногамов<sup>1, 2, 3</sup>

<sup>1</sup> Объединенный институт высоких температур РАН, Москва, Россия

\*E-mail: sa.romashevskiy@gmail.com Поступила в редакцию 10.06.2024 г. После доработки 11.09.2024 г. Принята к публикации 08.10.2024 г.

Исследована динамика релаксации энергии в пленке никеля толшиной 73 нм, находящейся в сильнонеравновесном двухтемпературном состоянии, индуцированном воздействием фемтосекундного лазерного импульса. Выполнены экспериментальные измерения динамики изменения коэффициента отражения  $\Delta R/R_0$  с фронтальной стороны нанопленки в оптической схеме «возбуждение—зондирование» с использованием методики фазочувствительного детектирования на длине волны 793 нм во временном диапазоне до 300 пс с временным разрешением 60 фс при максимально возможном неразрушающем поглощенном флюенсе  $F_{\rm abs}=10.87~{\rm мДж/cm^2}$  нагревающего импульса с длиной волны 396 нм и длительностью 150 фс. Сигнал  $\Delta R/R_0$  содержит информацию как о динамике тепловых процессов, так и о распространении пикосекундных акустических импульсов в нанопленке и в подложке. Продольная скорость звука в нанопленке составила  $5.73 \pm 0.16$  нм/пс, сдвиг частоты при рассеянии Бриллюэна—Мандельштама в подложке — около 21.15 ГГц. Двухтемпературный гидродинамический расчет дает значения максимальной температуры электронов  $T_e = 2.9$  кК и решетки  $T_i = 1.1$  кК. Максимальные значения давления акустического импульса в нанопленке и в подложке составляют 6.8 и 1.2 ГПа соответственно. В литературе практически отсутствуют данные об исследованиях пикосекундной динамики тепловых и акустических процессов в нанопленках металлов при высоких начальных температурах электронной подсистемы, возбужденной в результате воздействия фемтосекундного лазерного импульса с плотностью потока энергии вблизи порога модификации (разрушения) материала.

#### DOI: 10.31857/S0040364424060126

# **ВВЕДЕНИЕ**

Бесконтактные и неразрушающие оптические методы исследования тепловых и механических свойств с наномасштабным пространственным, а также фемто- и пикосекундным временным разрешением, особенно актуальны для тонкопленочных материалов на подложках, являющихся основой современной солнечной энергетики и электронной промышленности. Реализация подобных прецизионных измерений возможна с помощью фемтосекундных лазерных импульсов в схеме «возбуждение — зондирование», когда малые изменения оптических свойств (коэффициентов отражения  $\Delta R/R_0$  и/или пропускания  $\Delta T/T_0$ ) в материале, наведенные нагревающим импульсом, регистриру-

ются с помощью зондирующего импульса с применением методики фазочувствительного детектирования.

Релаксация энергии в тонких пленках Ni после сверхбыстрого нагрева с помощью фемтосекундных лазерных импульсов изучалась с целью выяснения фундаментальных законов взаимодействия электронной и фононной подсистем [1–5], а также исследования переноса тепла на наномасштабах [6, 7], при этом экспериментальные исследования проводились лишь при малых перегревах электронной подсистемы ( $\Delta T_e \approx 10-100~{\rm K}$ ). Практически нет исследований для случая сильнонеравновесного состояния электронной и фононной подсистем [8, 9], когда в материале после полной релаксации

<sup>&</sup>lt;sup>2</sup> Институт теоретической физики им. Л.Д. Ландау РАН, Черноголовка, Россия

<sup>&</sup>lt;sup>3</sup> Всероссийский НИИ автоматики им. Н.Л. Духова (Росатом), Москва, Россия

энергии (остывания) не происходит каких-либо повреждений [10-12], но перегрев электронной подсистемы достигает  $\Delta T_e \approx 1-20$  кK, а решетка нагревается до температур, близких к температуре плавления  $T_m$  [13–15]. Другим важным аспектом сверхбыстрого нагрева материала является генерация пикосекундных акустических импульсов (или когерентных акустических фононов) в гигагерцовом-терагерцовом частотных диапазонах [16, 17]. С помощью этих импульсов (метода пикосекундной акустики [17]) возможно, например, обнаружить наличие скрытых интерфейсов и структур под оптически непрозрачными материалами (металлами) с микронным латеральным и наномасштабным разрешением по глубине [18, 19]. Для исследования оптически прозрачных сред с помощью акустических импульсов используется методика бриллюэновского рассеяния во временной области [20, 21], которая позволяет получить информацию об акустооптических свойствах исследуемого материала, наличии структурных неоднородностей с наноразмерным пространственным разрешением [22, 23]. Исследования в области генерации акустических импульсов и их регистрации при выходе на поверхность исследуемой тонкой (120–250 нм) пленки Ni, нанесенной на подложку, ранее проводились с помощью пико- [24, 25] и фемтосекундных лазерных импульсов [26-30] при относительно низких поглощенных флюенсах нагревающих импульсов в диапазоне  $F_{\rm abs} = 0.006 - 0.84 \ {\rm мДж/cm^2}$ [24-27] и 3.2 мДж/см $^2$  [29]. Отметим, что для металлических пленок рутения Ru (1.2–107 нм) и титана Ті (12-53 нм) на подложках исследования были проведены при  $F_{\rm abs}$  от нескольких единиц до  $13 \text{ мДж/см}^2 [31, 32].$ 

В настоящей работе сообщается об экспериментальном и теоретическом исследовании релаксации энергии в сильно возбужденной электронной подсистеме пленки Ni ( $\Delta T_e = 2.6~\mathrm{kK}$ ,  $\Delta T_i = 825~\mathrm{K}$ ) на стеклянной подложке после воздействия фемтосекундного лазерного импульса с неразрушающим поглощенным флюенсом  $F_{\mathrm{abs}} = 10.87~\mathrm{mJm/cm^2}$  (в отличие от работ [33, 34]) путем измерений малых изменений коэффициента отражения  $\Delta R/R_0$  во временном интервале до 300 пс и с временным шагом  $0.03-0.4~\mathrm{nc}$ .

## ОПИСАНИЕ ЭКСПЕРИМЕНТАЛЬНОЙ СХЕМЫ

Измерения временной динамики лазерноиндуцированного дифференциального коэффициента отражения ( $\Delta R/R_0$ , где  $\Delta R=R-R_0$ , а Rи  $R_0$  — индуцированный и исходный коэффициенты отражения) исследуемого образца выполнялись в оптической схеме «возбуждениезондирование». В качестве источника излучения использовалась титан-сапфировая фемтосекундная лазерная система, генерирующая импульсы длительностью 60 фс на центральной длине волны 793 нм с частотой 1 кГц.

В качестве образца использовалась поликристаллическая пленка Ni толщиной  $73\pm2$  нм, нанесенная на стеклянную боросиликатную подложку толщиной 150 мкм методом магнетронного распыления в аргоновой среде при давлении  $5\times10^{-2}$  Торр. Толщина пленки измерена с помощью атомно-силового микроскопа.

Исследуемый образец возбуждался нагревающим лазерным импульсом на длине волны 396 нм (вторая гармоника) длительностью 150 фс, сфокусированным под углом падения 45° в эллиптическое пятно размером  $130 \times 93$  мкм<sup>2</sup> (по уровню 1/е). Зондирующий импульс, сфокусированный нормально к поверхности в пятно диаметром 15 мкм (по уровню 1/е) в центр пятна нагревающего импульса, зондировал образец с регулируемой задержкой по времени. Значения  $\Delta R/R_0$ регистрировались методом фазочувствительного детектирования - падающее на образец и отраженное от образца излучение зондирующего импульса регистрировалось с помощью двух фотодиодов в балансном режиме, подключенных к синхронному усилителю SR830, измеряющему дифференциальный (разностный) сигнал на частоте следования нагревающих импульсов 500 Гц (после механического прерывателя) в частотной полосе 2.6 Гц. Минимальное регистрируемое изменение коэффициента отражения в схеме составило  $\Delta R/R_0 \sim 5 \times 10^{-5}$ . Сигнал  $\Delta R/R_0$  регистрировался на основной длине волны излучения 793 нм импульсами длительностью 60 фс во временном диапазоне задержек между нагревающим и зондирующим импульсами от -3 до 300 пс с временным шагом от 30 до 400 фс [15]. Нагрев и зондирование (измерения  $\Delta R/R_0$ ) осуществлялись на фронтальной (свободной) поверхности образца Ni—стекло при поглощенном флюенсе  $F_{\rm abs} = 10.87 \pm 0.22 \ {\rm мДж/cm^2},$  который для данного образца являлся максимально возможным неразрушающим флюенсом при частоте нагревающих импульсов 500 Гц. Таким образом, все изменения в образце были обратимы.

## ОБСУЖДЕНИЕ ЭКСПЕРИМЕНТАЛЬНЫХ РЕЗУЛЬТАТОВ

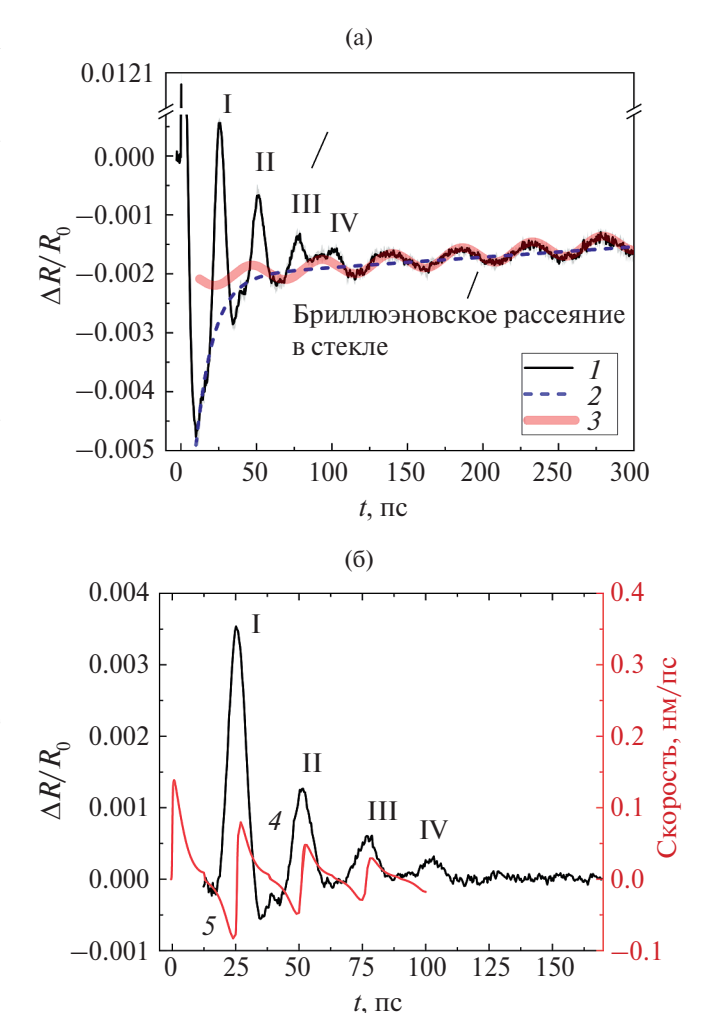
На рис. 1а представлена измеренная зависимость изменения коэффициента отражения  $\Delta R/R_0$  от времени t в диапазоне от -3 до 300 пс на фронтальной стороне пленки Ni при поглощенном флюенсе нагревающего импульса  $F_{\rm abs}=10.87~{\rm MДж/cm^2}.$  Зависимость  $\Delta R/R_0(t)$  яв-

ляется суперпозицией нескольких физических процессов, происходящих в результате сверх-быстрого нагрева электронной подсистемы приповерхностного слоя пленки Ni (толщина скин-слоя  $\delta = \lambda/(4\pi k) = 12.3$  нм для k = 2.5644 при  $\lambda = 396$  нм [35]) и последующей релаксации энергии.

 $\hat{\mathbf{M}}$ зменение регистрируемого коэффициента отражения  $\Delta R/R_0$  связано с изменением комплексной диэлектрической проницаемости исследуемого материала как вследствие изменения электронной  $T_e$  и ионной  $T_i$  температур в нанопленке  $\hat{\mathbf{N}}$  (термооптический эффект), так и за счет изменения плотности в результате возникновения напряжений (давлений) в нанопленке  $\hat{\mathbf{N}}$  и подложке при распространении в них акустического импульса (акустооптический эффект).

В первый момент времени после воздействия нагревающего импульса (t > 0) изменения коэффициента отражения  $\Delta R/R_0$  положительные и достигают максимального значения  $(\Delta R/R_0)$  (max) = 1.19 × 10<sup>-2</sup> ± 5.7 × 10<sup>-4</sup>, время нарастания сигнала до максимума составляет  $15\overline{0}$  фс по уровню 10-90%. Далее  $\Delta R/R_0$  уменьшается, через t = 4.4 пс после воздействия переходит в область отрицательных изменений  $\Delta R/R_0$ и ко времени t = 10 пс достигает минимального значения  $(\Delta R/R_0)$ (min) =  $4.77 \times 10^{-3} \pm 2.3 \times 10^{-4}$ . Далее сигнал  $\Delta R/R_0$  начинает восстановление (значения  $\Delta R/R_0$  уменьшаются по модулю), темп которого, начиная с t = 50 пс, заметно замедляется. Также, начиная с t = 10 пс, на сигнале  $\Delta R/R_0$  видны периодические изменения, связанные с одновременным распространением (тудаобратно) в нанопленке затухающего акустического эха и распространением в глубь подложки убегающих акустических импульсов с убывающей амплитудой. Акустические импульсы (эхо) на рис. 1а представлены последовательностью гауссово-образных сигналов с убывающей амплитудой в диапазоне 18—140 пс, а распространение акустических импульсов в подложке представлено синусоидальной зависимостью с постоянной амплитудой, которая отчетливо видна, начиная с t = 110 пс. Однако в действительности она начинается с момента входа максимума давления акустического импульса в подложку через границу пленка—подложка, т.е. начиная с  $t \approx 13$  пс.

Акустические импульсы в пленке. На рис. 16 представлены изменения  $\Delta R/R_0$  только от акустического эха на фронтальной поверхности пленки Ni после вычитания экспоненциального теплового фона и синусоидальных колебаний за счет бриллюэновского рассеяния в подложке. Экспоненциальный тепловой фон может быть представлен двухфазной экспоненциальной функцией, аппроксимирующей из-



**Рис. 1.** Зависимость (а) изменения коэффициента отражения  $\Delta R/R_0$  от времени t на фронтальной стороне Ni при  $F_{\rm abs}=10.87$  мДж/см²: I – эксперимент, 2 – двухфазная экспоненциальная аппроксимация, 3 — синусоидальная функция; (б) — изменения  $\Delta R/R_0$  от акустического эха (римские цифры) на фронтальной поверхности пленки Ni после вычитания экспоненциального теплового фона и синусоидальных колебаний (4), расчетный профиль скорости границы пленки никеля с воздухом из 2Т-ГД моделирования (5).

менение  $\Delta R/R_0$  в диапазоне от -12 до 300 пс за счет диффузии тепла в пленке и ее остывания. На этом фоне присутствуют изменения  $\Delta R/R_0$  за счет распространения акустических импульсов в нанопленке и подложке. Согласно данным на рис. 1, акустические импульсы, распространяющиеся в нанопленке (акустическое эхо), выходят на фронтальную поверхность с периодом  $T=2d_f/v_f=25.6$  пс. При толщине пленки  $d_f=73\pm2$  нм измеренная продольная скорость звука для данного образца составляет  $v_f=5.73\pm0.16$  нм/пс (км/с), которая находится в согласии с измеренными скоростями в диапа-

зоне 5.5–5.85 нм/пс, полученными в [24–26, 28] для поликристаллических пленок Ni толщиной от 120 до 200 нм на диэлектрических подложках. Скорость звука в материале сильно зависит от структуры конкретного материала, которая в случае пленок определяется режимом напыления пленки на подложку (метод нанесения, температурный режим), а также толщиной напыляемой пленки (изменение размера зерен, неоднородность пленки). Поэтому справочные данные о скорости звука могут сильно расходиться с актуальными для конкретного материала. В этой связи возникает необходимость измерять скорость звука для каждого отельного образца. Например, для пленочных образцов поликристаллического никеля толщиной 510, 720 и 1060 нм, полученных при аналогичных условиях магнетронного напыления, что и пленка толщиной 73 нм, измеренная в данной работе продольная скорость звука составила 5.18-5.23 нм/пс, что ниже значения 5.73 нм/пс на 10%. Таким образом, использование метода пикосекундной акустики актуально для определения продольной скорости звука в тонких и толстых пленках [36, 37], толщины которых заранее определены. Более того, в работе [32] было продемонстрировано, что для пленок рутения на стекле толщиной от 1.2 до 107 нм скорость акустической волны с центральной спектральной частотой от 130 до 750 ГГц имела сильную нелинейную зависимость от толщины (частоты) и изменялась в диапазоне от 1.56 до 6.03 нм/пс.

Согласно рис. 16, также наблюдается уменьшение амплитуды каждого последующего акустического эха. Из теории акустического рассогласования следует, что амплитудное значение коэффициента отражения и пропускания на границе Ni—стекло составляет  $R_{fs} = -0.6$  и  $T_{fs} = 0.4$ , а импеданс никеля в 4 раза выше импеданса стекла:

$$R_{fs} = (v_s \rho_s - v_f \rho_f)/(v_s \rho_s + v_f \rho_f).$$

Для расчета использовались данные:  $v_f = 5.73$  нм/пс,  $\rho_f = 8900$  кг/м³,  $v_s = 5.63$  нм/пс,  $\rho_s = 2230$  кг/м³ (значения скорости звука взяты из эксперимента, импедансы стекла и пленки равны  $v_s \rho_s = 1.255 \times 10^7$  и  $v_f \rho_f = 5.1 \times 10^7$  кг/(м² с)).

Однако из экспериментальных данных (рис. 16) следует, что отношение амплитуд последующего акустического эха (n+1) к предыдущему n ниже расчетного значения  $R_{fs} = -0.6$ . Более того, наблюдается рост амплитуды: так, например, при амплитуде первого эха  $A_1 = 1$  отношение  $A_2/A_1 = 0.37$ ,  $A_3/A_2 = 0.41$ ,  $A_4/A_3 = 0.5$ . Если бы измеренное значение коэффициента отражения было выше расчетного 0.6, это означало бы уменьшение импеданса на границе Ni—стекло, например, в результате деламинации плен-

ки Ni. В данном случае коэффициент отражения меньше расчетного, особенно для первого и второго эха. Вероятно, уменьшение коэффициента отражения может быть связано с усиленным поглощением акустического импульса при распространении в сильно нагретом материале (Ni), который прогревается до 1115 К в начальный момент времени и ко времени 50 и 75 пс остывает лишь до 710 и 677 К соответственно (расчет с помощью двухтемпературного гидродинамического кода). Помимо затухания акустического импульса в пленке по мере распространения и потерь на интерфейсе, на уменьшение амплитулы также может влиять дисперсия. Например, для пленок Ni толщиной 510 и 720 нм увеличение длительности второго эха составило в обоих случаях ~40% в аналогичном эксперименте. Однако в случае пленки толщиной 73 нм дисперсией можно пренебречь, поскольку акустический импульс проходит в пленке вместо 1020 и 1440 нм на порядок меньшее расстояние - 146 нм. Отметим, что при  $F_{\rm abs} \approx 0.01~{\rm мДж/cm^2}$  экспериментальное соотношение амплитуд первого и второго эха для образцов Ni толщиной 120 нм на кварце, а также 129 нм и 200 нм на кремнии совпало с расчетными значениями 0.66 и 0.42 для кварца и кремния соответственно [24-26].

Акустические импульсы в подложке. Регистрация акустического импульса, распространяющегося в глубь подложки, осуществляется благодаря интерференции зондирующего излучения, отраженного от нескольких неподвижных интерфейсов (воздух—пленка, пленка—подложка) и одного подвижного, которым и является убегающий акустический импульс, прошедший через интерфейс и индуцирующий локальное изменение оптических свойств [20]. Данное явление относят к бриллюэновскому рассеянию во временной области, поскольку в подложке происходит бриллюэновское рассеяние оптического зондирующего излучения (фотонов) на когерентных акустических фононах [20, 21].

В данном случае направление акустического импульса совпадает с направлением падающего зондирующего излучения, поэтому отраженный оптический импульс должен иметь стоксов сдвиг по частоте  $f_{\rm BS}$ . Бриллюэновское рассеяние характеризуется частотным сдвигом в гигагерцовой области частот. Для кремния сдвиг по частоте составляет  $f_{\rm BS}=70-80$  ГГц (в зависимости от ориентации) [21], для стекол  $f_{\rm BS}=20-25$  ГГц [20].

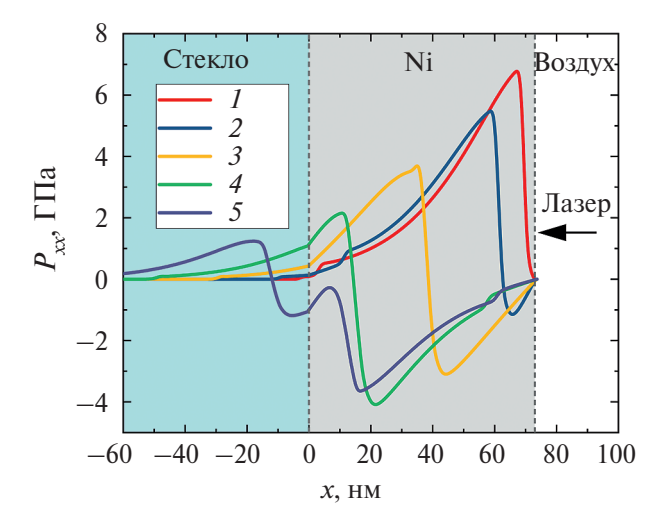
Частота синусоидальных осцилляций, определенная методом фурье-преобразования по экспериментальным данным (рис. 1а), составляет  $f_{\rm BS} = 21.19~\Gamma$ Гц (период — 46.95 пс), наложенная модельная синусоидальная функция имеет ча-

стоту  $f_{\rm BS}=21.28$  ГГц, что находится в согласии с бриллюэновской частотой в стекле на длине волны 793 нм [22]. Отметим, что полная амплитуда синусоидального сигнала от акустической волны в подложке, регистрируемого через толщину пленки Ni в 73 нм, составляет  $\Delta R/R_0=2.8\times10^{-4}$  (рис. 1а). При нормальном падении зондирующего излучения частота синусоидальных колебаний  $f_{\rm BS}$  изменения коэффициента отражения  $\Delta R/R_0$  определяется скоростью звука в подложке  $\nu_s$ , показателем преломления подложки  $n_s(\lambda)$  и длиной волны зондирующего излучения  $\lambda_{\rm pr}$  ( $f_{\rm BS}=2n_s \nu_s/\lambda_{\rm pr}$ ). Таким образом, при показателе преломления  $n_s(\lambda)=1.5$  на длине волны  $\lambda_{\rm pr}=793$  нм при  $f_{\rm BS}=21.19-21.28$  ГГц скорость звука в стекле составляет  $\nu_s=5.6-5.63$  нм/ с.

#### МОДЕЛИРОВАНИЕ

Для численного моделирования описанных выше процессов был использован двухтемпературный гидродинамический (2Т-ГД) код [38, 39] с учетом упругости (эффекты пластичности не учитывались ввиду относительно малых амплитуд давления [40]). Двухтемпературное уравнение термодинамического состояния никеля и коэффициент теплопроводности брались согласно работе [41]. Максимальная электронная температура на двухтемпературной стадии в конце действия нагревающего импульса достигает  $T_a = 2860 \text{ K}$ . По мере передачи энергии в ионную подсистему температура решетки возрастает и достигает максимального значения  $T_i = 1115 \text{ K}$  примерно через 1 пс (температура плавления никеля  $T_m = 1726 \text{ K}$ ). Результаты расчета для мгновенного распределения полного давления  $P_{xx}$  представлены на рис. 2 для моментов времени t = 0.6, 2, 6, 10 и 15 пс после воздействия нагревающего импульса.

На рис. 2 показано, во-первых, каким образом формируется первое отражение волны сжатия в никеле от интерфейса Ni-стекло. Во-вторых, продемонстрировано формирование акустической волны, проходящей через границу раздела в подложку. Акустическая волна в никеле состоит из волны сжатия и следующей за ней волны разрежения (рис. 2 при t = 6 пс). Такая форма характерна для «толстых» пленок или объемных образцов, в которых толщина слоя прогрева лазерным импульсом меньше толщины пленки. Акустическая волна, проходящая в стекло, аналогично состоит из участков положительного и отрицательного давлений (рис. 2, t = 15 пс), что обусловлено составным характером акустической волны в пленке (последовательность участков сжатия и разрежения). Максимальные значения давления акустического импульса в пленке и подложке составляют 6.8 и 1.2 ГПа соответственно. Как



**Рис. 2.** Мгновенное распределение полного давления  $P_{xx}$  в пленке никеля и в стекле в различные моменты времени: 1-t=0.6 пс, 2-2, 3-6, 4-10, 5-15.

было указано ранее, из-за различия акустических импедансов стекла и никеля в подложку проходит последовательность затухающих импульсов с периодом, определяемым отношением двойной толщины пленки к скорости звука в ней. Амплитуда первой волны сжатия достигает  $1.2~\Gamma\Pi a$ , а амплитуда каждой последующей волны уменьшается примерно на 60%. На рис. 16 расчетный профиль скорости границы пленки никеля с воздухом (фронтальной поверхности) совмещен с изменениями коэффициента отражения  $\Delta R/R_0$ , происходящими за счет выхода на поверхность акустического импульса (эха).

#### ЗАКЛЮЧЕНИЕ

В работе экспериментально и теоретически исследована динамика релаксация энергии для образца пленки никеля толщиной 73 нм на диэлектрической подложке при фронтальном воздействии фемтосекундным лазерным импульсом с максимально возможным неразрушающим поглощенным флюенсом  $F_{abs} = 10.87 \text{ мДж/см}^2$ . Двухтемпературный гидродинамический расчет дает значения максимальной температуры электронов и решетки 2860 К и 1115 К через 0.1 и 1 пс после воздействия соответственно, а также значения максимальных давлений акустического импульса в нанопленке и подложке – 6.8 и 1.2 ГПа соответственно. Временная динамика изменения коэффициента отражения  $\Delta R/R_0$ , измеренная с фронтальной стороны нанопленки во временном интервале до 300 пс, проанализирована на предмет распространения пикосекундных акустических импульсов в сильно нагретых нанопленке и подложке. Продольная скорость звука в нанопленке составила  $5.73 \pm 0.16$  нм/пс, сдвиг частоты при рассеянии Бриллюэна—Мандельштама в подложке — около 21.15 ГГц. В опубликованной литературе практически отсутствуют исследования пикосекундной динамики тепловых и акустических процессов в нанопленках металлов, находящихся в сильнонеравновесном двухтемпературном состоянии, инициированном воздействием фемтосекундного лазерного импульса с плотностью потока энергии вблизи порога модификации (разрушения) материала.

Экспериментальные исследования выполнены при финансовой поддержке Министерства науки и высшего образования РФ (ОИВТ РАН № 075-00270-24-00). Моделирование проведено при финансовой поддержке ГЗ ИТФ им. Ландау (FFWR-2024-0013, Нелинейные режимы взаимодействия вещества и излучения, 124041900014-8). Данная работа была выполнена на оборудовании ЦКП «Лазерный фемтосекундный комплекс» ОИВТ РАН.

#### СПИСОК ЛИТЕРАТУРЫ

- Hohlfeld J., Wellershoff S.-S., Güdde J., Conrad U., Jähnke V., Matthias E. Electron and Lattice Dynamics Following Optical Excitation of Metals // Chem. Phys. 2000. V. 251. № 1–3. P. 237.
- 2. Caffrey A., Hopkins P., Klopf J., Norris P. Thin Film Non-noble Transition Metal Thermophysical Properties // Nanoscale Microscale Thermophys. Eng. 2005. V. 9. № 4. P. 365.
- 3. *Hopkins P.E., Klopf J.M., Norris P.M.* Influence of Interband Transitions on Electron-Phonon Coupling Measurements in Ni Films // Appl. Opt. 2007. V. 46. № 11. P. 2076.
- 4. *Lin Z., Zhigilei L.V., Celli V.* Electron-Phonon Coupling and Electron Heat Capacity of Metals under Conditions of Strong Electron-Phonon Nonequilibrium // Phys. Rev. B. 2008. V. 77. № 7. 075133.
- Medvedev N., Milov I. Electron-Phonon Coupling in Metals at High Electronic Temperatures // Phys. Rev. B. 2020. V. 102. № 6. 064302.
- Paddock C.A., Eesley G.L. Transient Thermoreflectance from Thin Metal Films // J. Appl. Phys. 1986.
   V. 60. № 1. P. 285.
- 7. Clemens B.M., Eesley G.L., Paddock C.A. Time-resolved Thermal Transport in Compositionally Modulated Metal Films // Phys. Rev. B. 1988. V. 37. № 3. P. 1085.
- 8. *Tsibidis G.D.* Ultrafast Dynamics of Non-equilibrium Electrons and Strain Generation Under Femtosecond Laser Irradiation of Nickel // Appl. Phys. A. 2018. V. 124. № 4. P. 311.
- Genieys T., Petrakakis M.N., Tsibidis G.D., Sentis M., Utéza O. Unravelling Ultrashort Laser Excitation of Nickel at 800 nm Wavelength // J. Phys. D. Appl. Phys. 2021. V. 54. № 49. 495302.

- 10. Wellershoff S.-S., Hohlfeld J., Güdde J., Matthias E. The Role of Electron-Phonon Coupling in Femtosecond Laser Damage of Metals // Appl. Phys. A. Mater. Sci. Process. 1999. V. 69. № 7. P. S99.
- 11. Engel R.Y., Alexander O., Atak K. et al. Electron Population Dynamics in Resonant Non-linear x-ray Absorption in Nickel at a Free-electron Laser // Struct. Dyn. 2023. V. 10. 054501.
- 12. Chang H.-T., Guggenmos A., Cushing S.K. et al. Electron Thermalization and Relaxation in Laser-heated Nickel by Few-femtosecond Core-level Transient Absorption Spectroscopy // Phys. Rev. B. 2021. V. 103. 064305.
- 13. Иногамов Н.А., Хохлов В.А., Ромашевский С.А., Петров Ю.В., Жаховский В.В., Ашитков С.И. Определение важнейших параметров металла, облученного ультракоротким лазерным импульсом // Письма в ЖЭТФ. 2023. Т. 117. № 2. С. 107.
- 14. Ашитков С.И., Иногамов Н.А., Комаров П.С., Петров Ю.В., Ромашевский С.А., Ситников Д.С., Струлева Е.В., Хохлов В.А. Сверхбыстрый перенос энергии в металлах в сильно неравновесном состоянии, индуцируемом фемтосекундными лазерными импульсами субтераваттной интенсивности // ТВТ. 2022. Т. 60. № 2. С. 218.
- 15. Иногамов Н.А., Хохлов В.А., Ромашевский С.А., Петров Ю.В., Овчинников М.А., Ашитков С.И. Сильное возбуждение электронной подсистемы золота ультракоротким лазерным импульсом и процессы релаксации около температуры плавления // ЖЭТФ. 2024. Т. 165. № 2. С. 165.
- 16. *Matsuda O., Larciprete M.C., Li Voti R., Wright O.B.* Fundamentals of Picosecond Laser Ultrasonics // Ultrasonics. 2015. V. 56. P. 3.
- 17. Thomsen C., Strait J., Vardeny Z., Maris H.J., Tauc J., Hauser J.J. Coherent Phonon Generation and Detection by Picosecond Light Pulses // Phys. Rev. Lett. 1984. V. 53. № 10. P. 989.
- 18. Edward S., Zhang H., Setija I., Verrina V., Antoncecchi A., Witte S., Planken P. Detection of Hidden Gratings through Multilayer Nanostructures Using Light and Sound // Phys. Rev. Appl. 2020. V. 14. № 1. 014015.
- 19. Zhang H., Antoncecchi A., Edward S., Setija I., Planken P., Witte S. Unraveling Phononic, Optoacoustic, and Mechanical Properties of Metals with Light-Driven Hypersound // Phys. Rev. Appl. 2020. V. 13. № 1.014010.
- 20. *Thomsen C.*, *Grahn H.T.*, *Maris H.J.*, *Tauc J.* Picosecond Interferometric Technique for Study of Phonons in the Brillouin Frequency Range // Opt. Commun. 1986. V. 60. № 1–2. P. 55.
- 21. *Gusev V.E., Ruello P.* Advances in Applications of Time-domain Brillouin Scattering for Nanoscale Imaging // Appl. Phys. Rev. 2018. V. 5. № 3. 031101.
- 22. *Devos A., Côte R.* Strong Oscillations Detected by Picosecond Ultrasonics in Silicon: Evidence for an Electronic-structure Effect // Phys. Rev. B. 2004. V. 70. № 12. 125208.

- 23. Greener J.D.G., de Lima Savi E., Akimov A.V., Raetz S., Kudrynskyi Z., Kovalyuk Z.D., Chigarev N., Kent A., Patané A., Gusev V. High-frequency Elastic Coupling at the Interface of van der Waals Nanolayers Imaged by Picosecond Ultrasonics // ACS Nano. 2019. V. 13. № 10. P. 11530.
- 24. *Thomsen C., Grahn H.T., Maris H.J., Tauc J.* Surface Generation and Detection of Phonons by Picosecond Light Pulses // Phys. Rev. B. 1986. V. 34. № 6. P. 4129.
- 25. *Eesley G.L., Clemens B.M., Paddock C.A.* Generation and Detection of Picosecond Acoustic Pulses in Thin Metal Films // Appl. Phys. Lett. 1987. V. 50. № 12. P. 717.
- 26. Saito T., Matsuda O., Wright O.B. Picosecond Acoustic Phonon Pulse Generation in Nickel and Chromium // Phys. Rev. B. 2003. V. 67. № 20. P. 1.
- 27. *Kim J.-W.*, *Vomir M.*, *Bigot J.-Y*. Ultrafast Magnetoacoustics in Nickel Films // Phys. Rev. Lett. 2012. V. 109. № 16. 166601.
- 28. Edward S., Zhang H., Witte S., Planken P.C.M. Laser-induced Ultrasonics for Detection of Low-amplitude Grating Through Metal Layers with Finite Roughness // Opt. Express. 2020. V. 28. № 16. P. 23374.
- 29. Persson A.I.H., Enquist H., Jurgilaitis A., Andreasson B.P., Larsson J. Real-Time Observation of Coherent Acoustic Phonons Generated by an Acoustically Mismatched Optoacoustic Transducer Using X-Ray Diffraction // J. Appl. Phys. 2015. V. 118. 185308.
- 30. Crimmins T.F., Maznev A.A., Nelson K.A. Transient Grating Measurements of Picosecond Acoustic Pulses in Metal Films // Appl. Phys. Lett. 1999. V. 74. № 9. P. 1344.
- 31. Tzianaki E., Bakarezos M., Tsibidis G.D., Orphanos Y., Loukakos P.A., Kosmidis C., Patsalas P., Tatarakis M., Papadogiannis N.A. High Acoustic Strains in Si Through Ultrafast Laser Excitation of Ti Thinfilm Transducers // Opt. Express. 2015. V. 23. № 13. P. 17191.
- 32. De Haan G., van den Hooven T.J., Planken P.C.M.
  Ultrafast Laser-induced Strain Waves in Thin Ru-

- thenium Layers // Opt. Express. 2021. V. 29. № 20. P. 32051.
- 33. Ашитков С.И., Комаров П.С., Струлева Е.В., Агранат М.Б. Сопротивление деформированию титана вблизи теоретического предела прочности // ТВТ. 2018. Т. 56. № 6. С. 897.
- 34. *Струлёва Е.В., Комаров П.С., Ашитков С.И.* Термомеханическая абляция титана при фемтосекундном лазерном воздействии // ТВТ. 2019. Т. 57. № 4. С. 529.
- 35. *Johnson P., Christy R.* Optical Constants of Transition Metals: Ti, V, Cr, Mn, Fe, Co, Ni, and Pd // Phys. Rev. B. 1974. V. 9. № 12. P. 5056.
- 36. *Danilov E.A., Uryupin S.A.* Generation and Detection of Sound at the Effect of Femtosecond Pulses on a Metal Film on a Dielectric Substrate // J. Appl. Phys. 2023. V. 133. 203101.
- 37. *Danilov E.A.*, *Uryupin S.A.* Influence of Inhomogeneous Temperature and Field Distribution on Sound Generation and Its Effect on Reflectivity of a Thin Film Heated by a Femtosecond Pulse // J. Appl. Phys. 2024. V. 136. 015304.
- 38. Анисимов С.И., Жаховский В.В., Иногамов Н.А., Мигдал К.П., Петров Ю.В., Хохлов В.А. Физика высоких плотностей энергии и лазерные технологии // ЖЭТФ. 2019. Т. 156. № 4. С. 806.
- Demaske B.J., Zhakhovsky V.V., Inogamov N.A., Oleynik I.I. Ultrashort Shock Waves in Nickel Induced by Femtosecond Laser Pulses // Phys. Rev. B. 2013. V. 87. № 5. 054109.
- 40. *Жаховский В.В.*, *Иногамов Н.А*. Упруго-пластические явления в ультракоротких ударных волнах // Письма в ЖЭТФ. 2010. Т. 92. № 8. С. 574.
- 41. Inogamov N.A., Petrov Y.V., Zhakhovsky V.V., Khokhlov V.A., Demaske B.J., Ashitkov S.I., Khishchenko K.V., Migdal K.P., Agranat M.B., Anisimov S.I., Fortov V.E. Two-temperature Thermodynamic and Kinetic Properties of Transition Metals Irradiated by Femtosecond Lasers // AIP Conf. Proc. 2012. V. 1464. P. 593.